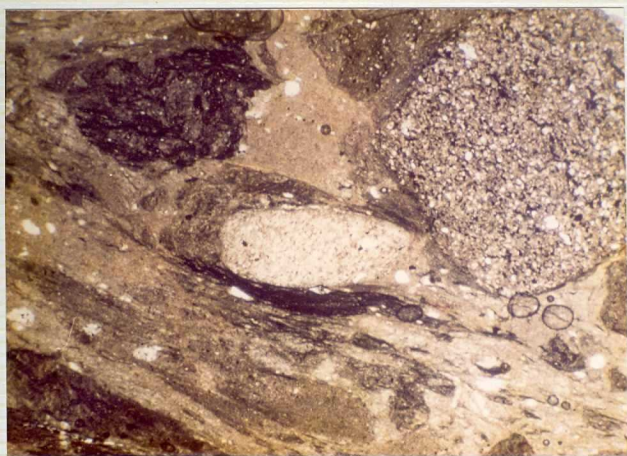


12-14-IB-CN 135

Filita, esquistosidad de pliegue-fractura
secundaria que afecta a niveles de cuarzo
LP, ob x 2, oc x 10



12-14-IB-CN 137

Metatoba con clastos metamórficos
LN, ob x 2, oc x 10

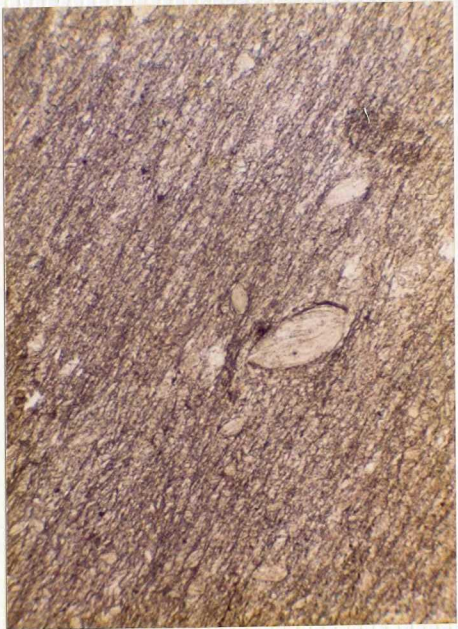


12-14-IB-CN 142

Esquistosidad de flujo plegada con desarrollo
de esquistosidad de pliegue-fractura. Clorita
de contacto intercinemática
LN, ob x 2, oc x 10

12-14-IB-CN 150

Filita con porfidoblastos de clorita
LN, ob x 2, oc x 10

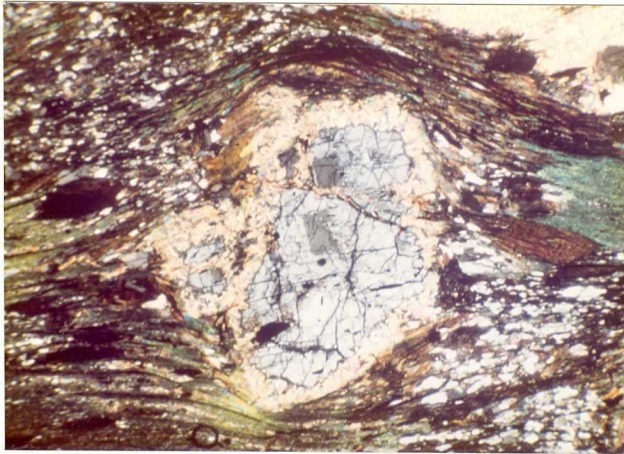




12-14-IB-CN 20

Biotitas de metamorfismo de contacto con in
clusión de la esquistosidad externa y deflec
ción de la misma

LN, ob x 2, 6c x 10



12-14-IB-CN 22

Quiastolita de contacto con ligera deflección
de la esquistosidad
LP, ob x 2, oc x 10



1214 IB CN 222

Panorámica del arrasamiento generalizado de las
pizarras ordovícicas O_{2-3} . En el fondo cristal
cuarcítico arenigense O_{12}^2 con el pie de monte
o coluvión recubriendolo $Q_2 C$.



1214 IB CN 223

Pizarras ordovícicas con plegamiento y esquistosidad asociada de apilo espacio, tipo "Chevrons tolds"



1214 IB CN 224

Plegamiento concéntrico en alternancias de grauwacás y filitas (S_W^B) al sur de Gallegos del Río



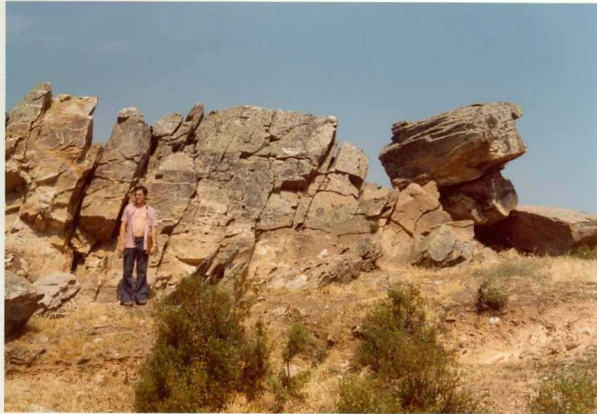
1214 IB CN 225

Amplio plegamiento con esquistosidad de fractura
asociada subvertical. En grauvacas y filitas (S_W^B)
al sur de Gallegos del Río.



1214 IB CN 226

Materiales de relleno neógeno cuaternarios conformando un extenso glacis en vias regresivas - ($T_2^B - Q_1$) hacia el centro de la fotografía.



1214 IB CN 227

Terminación perisinclinal definido por cuarcitas
(γ) intercaladas en pizarras del Ordovício supe-
rior definiendo el tránsito al Silúrico (O_{2-3} - S^A)



1214 IB CN 228

Nivel de liditas (Sv_2) del silúrico al Norte de Gallegos del Río y Sur de Valer.



1214 IB CN 229

Plegamiento isoclinal de vergencia hacia el
Norte definido por las finas hiladas calcá-
reas (c) de la formación filítico-calcárea-
silicea (Sev1c)



1214 IB CN 230

Nivel calcáreo (c) de espesor métrico en la
formación filítico-calcárea-silícea (Sev¹c)
en las proximidades de Valer.



1214 IB CN 231

Niveles magnésiferos replegados dos veces intercalados en las pizarras siliceas y liditas ($S^B \varepsilon_1$) en una explotación recientemente abandonada.



1214 IB CN 232

Aspecto de los taludes definidos por la formación
silúrica ($S^B \epsilon_1$) eminentemente liditica en las pro-
ximidades de Vide. En primer plano aspecto del -
cauce y terraza actual



1214 IB CN 233

Repliegues en liditas silúricas (Sv_2) a la altura de Dive definiendo un sinclinal hacia la derecha, con esquistosidad de fractura subvertical.



1214 IB CN 234

Aspecto del nivel conglomerático yacente directamente sobre las cuarcitas a arenigenses a la altura de la estación de Carbajales de Alba.



1214 IB CN 235

Panorámica de las penillanuras en el núcleo del eje Loracio-Santa Eufemia. En primer término gravas - $T_2^B-Q_1$ así como formación Ruebla O_{12} y al fondo cuarrita armoricana O_{12}^2 .



1214 IB CN 236

"Chevrons folds" y plegamiento tipo "Kink" en las
filitas O_{12}^1 que repliegan exudaciones de cuarzom
a la altura de Sata Eufemia.



1214 IB CN 237

Aspecto de la apófisis granítica ($d\gamma_m^2$) de Loracio.
Corresponde justamente con la parte central de la
fotografia.



1214 IB CN 238

Plegamiento de vergencia al Norte, isoclinal definido en las alternancias de cuarcitas y plíticas de la formación (O_{12}^1) a la altura de la Ermita de Lорacio.



1214 IB CN 239

Detalle de la foto anterior en la que se observa perfectamente una alineación de intersección tectónica definida por un plegamiento de crenulación F_4 y otro tangencial F_2 de esquistosidad de plano axial.



1214 IB CN 240

Aspecto textural del granito de Loracio ($\frac{d}{\gamma m^2}$)



1214 IB CN 241

Detalle del contacto con los esquistos encajantes
 O_{12}^1 hacia la derecha del "sicls" granítico de Losacio
($\text{d}_{\gamma m}^2$)



1214 IB CN 242

Plegamiento residual de esquistosidad de plano axial
en las alternancias cuarzo-pelíticas de Losacio O₁₂¹



1214 IB CN 243

Aspecto de los afloramientos de cuarcita arenígena tan típicos en estas zonas, rodeados por un extenso coluvión Q_2 c un relleno de valle que procedente de los finos de aquél.



1214 IB CN 244

Panorámica de la terraza del río Moratores (Q_1 TB)
a la altura de Perilla de Castro,



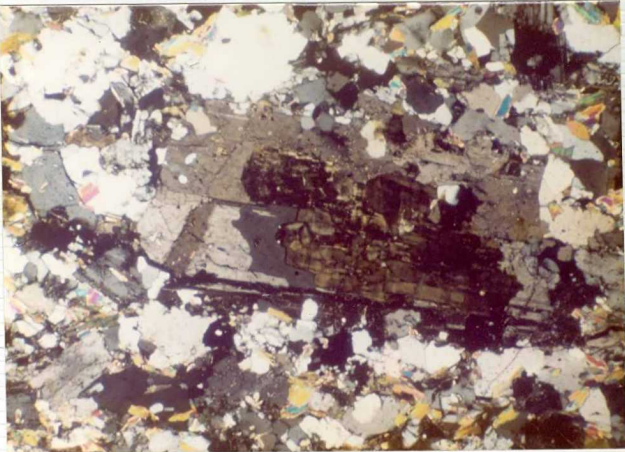
1214 IB CN 245

Detalle de la terraza anterior (Q_1^{TB})



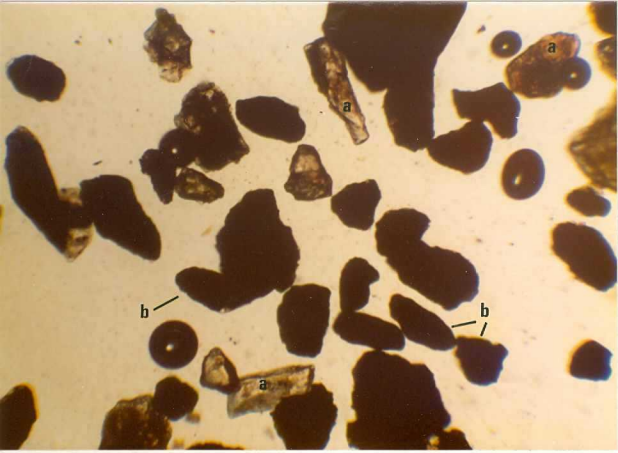
1214 IB CN 246

Aspecto de la superposición de terrazas en el río
Moratores ($Q_1 T_8$) ($Q_1 T_7$) y el hecho deducido de
crecida actual $Q_2 A_{l_1}$

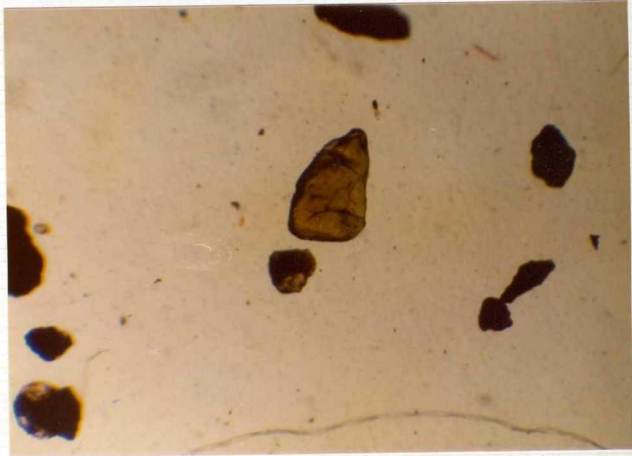


12-14-IB-CN 41

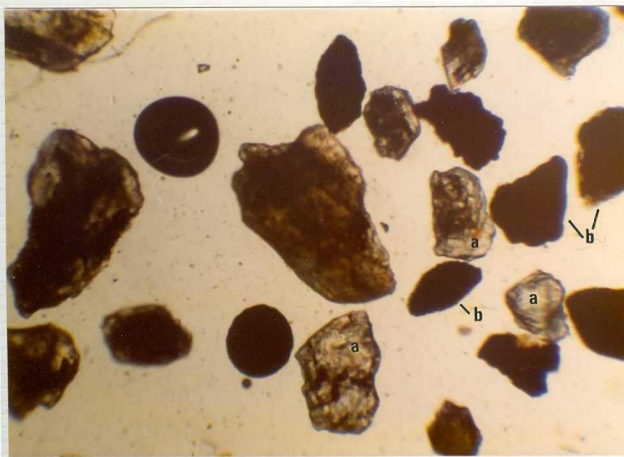
Leucogranito, microclina reemplazando el núcleo
de albita LP, ob x 2, oc x 10



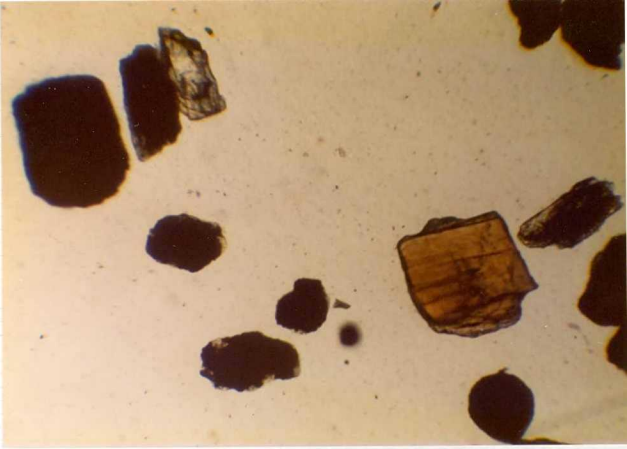
12-14-IB-FM-1171.- a) Andalucita, b) Opacos. (L.N.).
10 oc. x 5 ob.



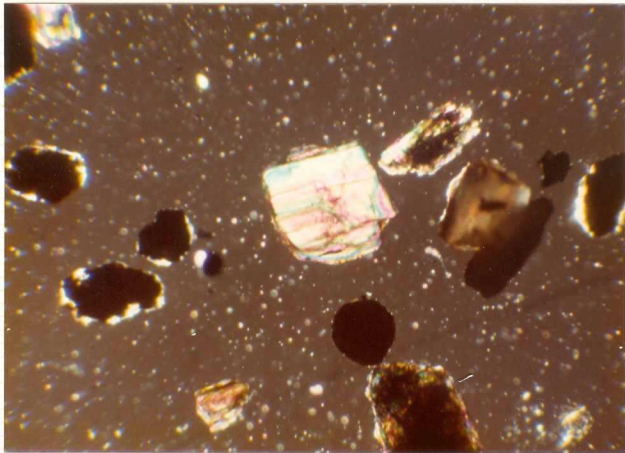
12-14-IB-FM-1177.- Turmalina parda con bordes subredondados. (L.N.). 10 oc. x 5 ob.



12-14-IB-FM-1184.- a) Andalucitas con inclusiones carbo_nosas. b) Opacos. (L.N.). 10 oc. x 5 ob.



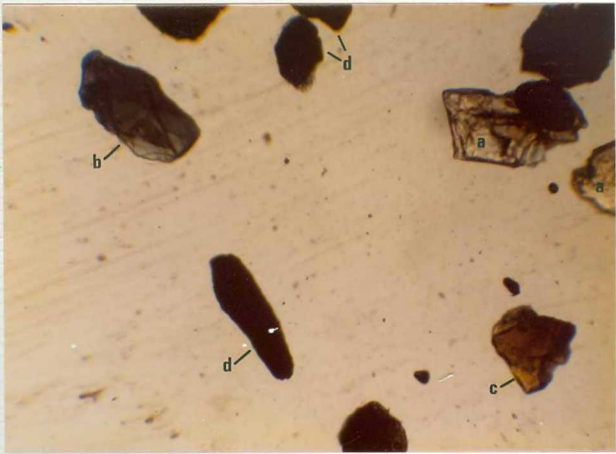
12-14-IB-FM-1184.- Andalucita rosa en posición de máximo pleocroismo. (L.N.). 10 oc.
x 5 ob.



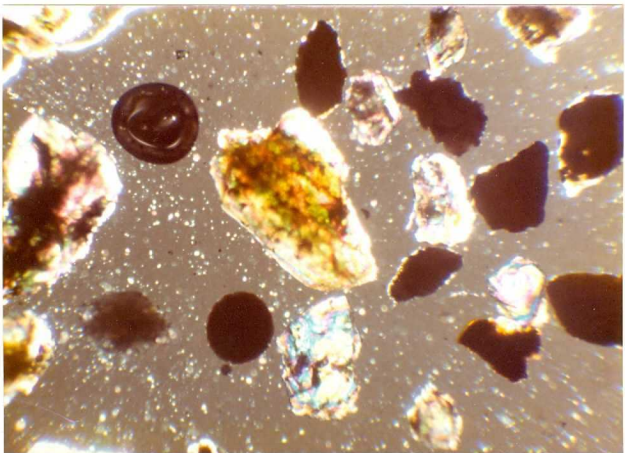
12-14-IB-FM-1184.- La misma Andalucita anterior mos--
trando los típicos colores de bi--
rrefringencia. (L.P.). 10 oc. x -
5 ob.



12-14-IB-FM-1184.- a) Andalucitas con abundantes inclusiones de opacos, probablemente carbonosas. b) Opacos. (L.N.). 10 oc. x 5 ob.



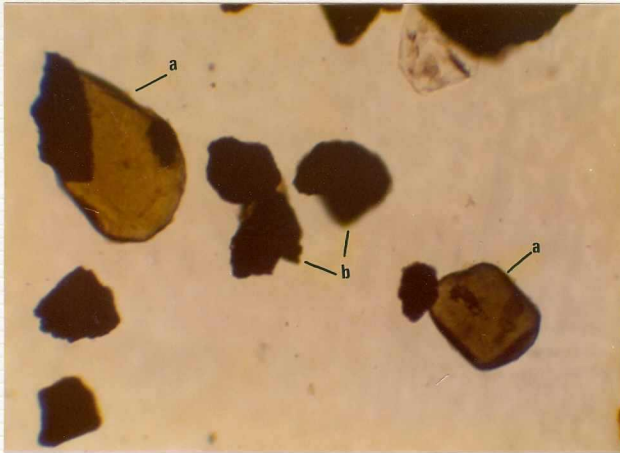
12-14-IB-FM-1184.- a) Andalucita, b) Turmalina verde,
c) Turmalina parda, d) Opacos. -
(L.N.). 10 oc. x 5 ob.



12-14-IB-FM-1184.- Idem que la anterior pero mostrando los colores de polarización. (L.P).
10 oc. x 5 ob.



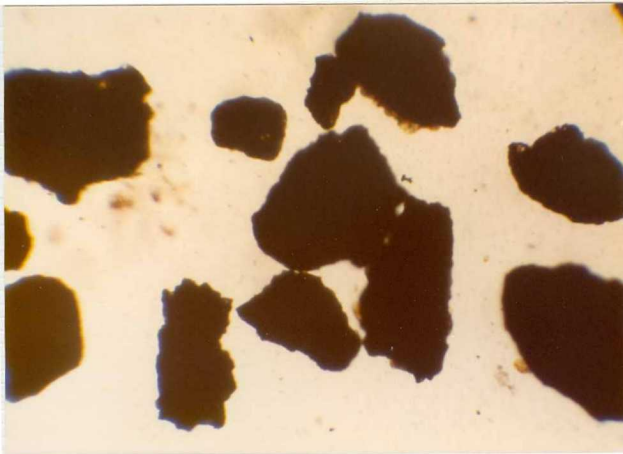
12-14-IB-FM-1187.- a) Circón, b) Turmalina, c) Opacos,
d) Cuarzo. (L.N.). 10 oc. x 10 ob.



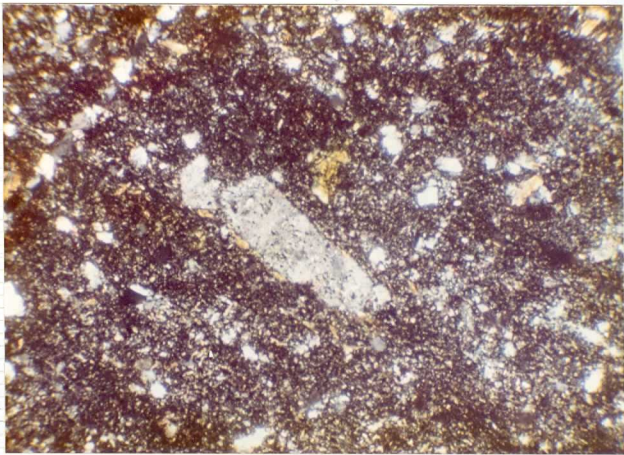
12-14-IB-FM-1187.- a) Turmalinas verdes muy típicas.
b) Opacos. (L.N.). 10 oc. x 10 ob.



12-14-IB-FM-1188.- Fragmentos de roca abundantes. Generalmente son filitas. (L.R). --
10 oc. x 5 ob.



12-14-IB-FM-1190.- Opacos abundantes con bordes normalmente subangulosos. (L.N.). 10 oc.
x 5 ob.



12-14-IB-FM 1.110

Fenocristales de albita en metacinerita
LP, ob x 10, oc x 10



1214 IB MA 1195

Vista panorámica en la que se observa la continuidad de los coluviones (QC) en las superficies glacis con sedimentos pliocuaternarios ($T_2^B - Q_1$)



1214 IB MA 1936

Vista general del nivel de arrasamiento $Q_1 T_6 x$ situado
al fondo, en primer plano depósitos plio-
cuaternarios ($T_2^3 - Q_1$)